

آنالیز ارتعاش آزاد ورق‌های S-FGM-Undercoated و S-FGM-Coated با شرایط مرزی کلاسیک

رضا امینی نژاد^۱، سید علیرضا مهاجرانی^۲، علیرضا صمصامی^۳ و شهاب امینی نژاد^۴

Rezanojum@yahoo.com

چکیده

این تحقیق ارتعاش آزاد ورق‌های چند لایه ای همراه با شرایط مرزی مختلف را بررسی می‌نماید. ابتدا یک ورق S-FGM با شرایط مرزی مختلف بررسی می‌شود. سپس یک ورق دو لایه ای که در آن یک لایه S-FGM بر روی یک زیر لایه هموژن (همگن) پوشانده شده، تحت شرایط مرزی مختلف بررسی می‌گردد که برای سادگی S-FGM-coated نامیده می‌شود. دیگری یک ورق سه لایه ای که در آن S-FGM به عنوان لایه وسط بکار گرفته شده و مواد هموژن متفاوتی در لایه‌های بالائی و پائینی هستند؛ که تحت شرایط مرزی مختلف می‌باشد، بررسی گردیده که این ورق FGM-undercoated نامیده شده است. مدول یانگ ورق تابعی در راستای ضخامت متغیر فرض شده است و ضریب پوآسون در سراسر ورق ثابت باقی می‌ماند. گرادیان ماده در قسمت FGM از ساختار لمینیت از توابع S مانند پیروی می‌کند، بدین منظور این ورقها S-FGM نامیده شده‌اند. برای ساختارهای چند لایه ای، محاسبات کمیت‌های $A_{II}, B_{II}, C_{II}, Q_{II}, S_{II}$ در این موارد پیچیده تعریف شده‌اند، بنابراین در این تحقیق یک روشی برای راحت تر شدن محاسبات آنها بکار برده شده است. ابتدا نتایج با نرم افزار المان محدود ABAQUS مقایسه شده و مطابقت خوبی را نشان دادند. سپس مقادیر فرکانس‌های هر سه ورق برای شرایط مرزی مختلف و نسبتهاي طول به عرض برای تعدادی از پارامتر ماده بدست آمده‌اند و به صورت نمودار ارائه گردیدند.

کلیدواژه:

ورق - لمینیت - ارتعاش آزاد - S-FGM-Coated - CPT

۱- کارشناس ارشد، دانشکده مهندسی مکانیک، دانشگاه آزاد اسلامی واحد اراک

۲- عضو هیأت علمی دانشگاه آزاد اسلامی واحد اراک، sa_mohas@hotmail.com

۳- دانشجوی کارشناسی ارشد، دانشکده مهندسی مکانیک، دانشگاه آزاد اسلامی واحد اراک، alisamamy@yahoo.com

۴- دانشجوی کارشناسی، دانشکده مهندسی مکانیک، دانشگاه آزاد اسلامی واحد اراک، mec_eng_2010@yahoo.com

کاتالیستها)، استفاده در مهندسی پزشکی(کاشت دندان مصنوعی، استخوان های مصنوعی) و سایر فن آوری های نوین مانند موتورهای سرامیکی و پوشش در برابر خوردگی و حرارت را نام برد. به علت درخواستهای زیاد بر قابلیت ها و عمر مؤثر مواد، تکنولوژی پوشش (coating) یا ماده کامپوزیت جهت افزودن طول عمر مواد بکار رفته است. تنش های تکین (ناپیوستگی تنش) بین لایه های مختلف تخریب ایجاد کرده و ممکن است باعث ایجاد ترک شوند و بدین گونه لمینیت خیلی مستعد ورقه ورقه شدن می شود. ایده و مفهوم به اصطلاح ماده تابعی (FGM) برای حذف تنشهای تکین، کم کردن تنشهای پسماند و افزودن استقامت پیوستگی معرفی شده است.

[۴،۳،۲] بنابراین دانستن تغییرات فرکانس های طبیعی ورق پس از پوشش دهنی کردن در این ورق ها مهم است. به لحاظ آنکه پس از coat کردن ورقها به دلیل آنکه مقدار ماده FGM مورد استفاده در سازه ها کمتر می شود می توانند از لحاظ اقتصادی مقرون به صرفه واقع گرددند (مانند استفاده در بدنه فضایپماها).

در ۱۰ سال گذشته، محققان بسیاری مطالعه ای در ماده تشکیل دهنده اختصاص داده اند. [۵] و [۶] مکانیک شکست، [۷] و [۸] و [۹] و [۱۰] و [۱۱] و [۱۲] و پردازش FGM ها [۱۳] و [۱۴]. اخیراً، FGM ها در ساختارهای ورق به جهت بررسی های مختلف بکار گرفته شده اند. مطالعات ترمولاستیک تغییر شکل صفحات FGM را می توان در بسیاری از مقالات مشاهده کرد [۱۵] و [۱۶] و [۱۷] و [۱۸]. به هر حال، فهمیدن رفتار مکانیکی ورق FGM در تشخیص و تعیین ایمنی ساختارهای ورق خیلی مهم شده است. یک حل دقیق برای تغییر شکل سه بعدی از یک ورق FGM مستطیلی ضخیم با تکیه گاه مفصلی که در معرض بارهای حرارتی و مکانیکی در صفحات بالاتی و پائینی قرار گرفته، بدست آمده است [۱۷]. حل های دقیق برای بارهای حرارتی و مکانیکی جهت ارزیابی دقت و صحت تئوری کلاسیک ورق، تئوری مرتبه اول تغییر شکل برشی و تئوری مرتبه سوم تغییر شکل برشی استفاده شده است [۱۹]. تئوری کارمن را برای تغییر شکل بزرگ جهت بدست آوردن حل تحلیلی برای ورقها و پوسته تحت بارهای مکانیکی عرضی و میدان حرارتی بکار بردند [۲۰]. کنترل ارتعاش صفحات FGM با اختلاط سنسورهای پیزوکالکتریک و محركها را بوسیله فرمول نوبسی المان محدود بر مبنای تئوری کلاسیک ورق های لمینیت مطالعه کرده است [۲۱،۲۲]. رفتار مکانیکی ورق FGM مستطیلی با یک تکیه گاه مفصلی در حالیکه کسر حجمی مواد متشکله از توابع S مانند پیروی می کند تحلیل کردند. با هم گذاری چندین صورت مجذوری شعاعی، اساس استفاده [۲۳] جهت آنالیز استاتیکی تغییر شکل FGM ها مدل شده با تئوری تغییر شکل برشی مرتبه سوم و روش

۱- مقدمه

به خاطر استفاده های وسیعی که از ورقهای نازک و ضخیم در صنایع مکانیکی، عمران و سازه ها می شود مطالعه رفتار ارتعاشی ورقها نقش مهمی در طراحی مهندسان سازه ایفا می کند. مطالعه در زمینه ارتعاشات این ورقها باعث بهینه کردن طراحی و کاهش هزینه های اقتصادی در پروژه ها می شود و دسترسی به بازدهی بیشتر را میسر می سازد. از کاربردهای گسترده ورقهای می توان به استفاده از آنها در ساخت پلها، ساختمانها، سطوح هواپیما ها و همچنین مهندسی دریابی به ویژه ساخت کف عرشه کشتی اشاره کرد و به صورت گسترده ای در صنایع هوا و فضا کاربرد دارند. به طور مثال هنگام بررسی سازه موشک باید فرکانس های طبیعی آن محاسبه شده و مشخص باشند تا در اثر بارهای تحریک ناشی از سیستم های دور داخلی مانند، پمپ، توربین، ژنراتور و موشک دچار پدیده تشدید نشده و سیستم کنترل موشک مختل نگردد و یا به طور خاص می توان محافظه احتراق یک موشک سوخت مایع را نام برد که در معرض گازهای داغ ناشی از احتراق قرار دارد و ممکن است در اثر نوسانات سیستم تغذیه دچار پدیده نایابداری احتراق شود که به انفجار موشک در لحظات ابتدایی پرواز منجر می شود.

^۱ FGM یا ماده تابعی یک ماده مصنوعی با ریز ساختار غیر همگن می باشد که خواص مکانیکی آن به طور ملایم و پیوسته از یک سطح تا سطح دیگر جسم تغییر می کند. این خاصیت ویژه به وسیله تغییر پله ای و یکنواخت و نسبت حجمی مواد تشکیل دهنده به دست می آید. اکثر خصوصیات مشخص یک FGM ساختار میکروسکوپی غیر یکنواخت سازه همراه با خواص ماکروسکوپی تابعی پیوسته هستند که ذکر شده است [۱]. در یک ماده FGM، وجه مشترک بین دو ماده پیدا نمی باشد چرا که مشخصات دو یا چند ماده کامپوزیت حفظ شده اند.

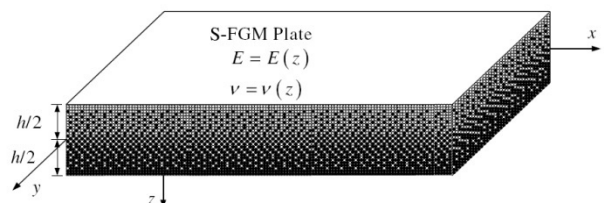
امتیاز اصلی مواد FGM مقاومت بسیار بالای آنها در برابر محیط های با درجه حرارت فوق العاده و تغییرات شدید درجه حرارت می باشد. مؤلفه سرامیکی جسم به دلیل هدایت حرارتی پایین باعث مقاومت در برابر دماهای بالا می گردد. از سوی دیگر مؤلفه فلزی باعث جلوگیری از رشد ترک و شکست ماده در اثر تنشهای حرارتی بسیار بالای ایجاد شده می گردد. همچنین پیوستگی تغییرات ریز ساختاری (تغییرات مدول یانگ از سرامیک به فلز به صورت یکنواخت می باشد). باعث امتیاز ماده FGM نسبت به انواع مواد مرکب لایه ای (لمینیت ها) گردیده است. از جمله کاربردهای اصلی این ماده می توان استفاده در راکتورهای هسته ای (مواد تشکیل دهنده دیواره داخلی راکتور) استفاده در صنایع شیمیابی (غناهای و

ارتعاشی قبل از هر چیز بدست آوردن فرکانس‌های طبیعی سازه و شکل حالت‌های ارتعاشی در این فرکانس‌ها در اولویت قرار دارد، هدف اصلی در این مقاله نیز بدست آوردن فرکانس‌های طبیعی ورقهای FGM، یک ورق FGM که بر روی یک ورق هموزن قرار گرفته ورقهای FGM که بین دو ورق هموزن قرار گرفته برای حالت‌های مختلف پارامتر ماده (p) و همچنین شکل حالت‌های ارتعاشی متناظر با هر فرکانس و ارائه جداول این فرکانس‌ها برای مستطیل با نسبت‌های مختلف طول به عرض متفاوت $\left(\frac{a}{b}\right)$ و رسم شکل مدهای ارتعاشی متناظر با هر فرکانس می‌باشد که یکی از کاربردهای این ورق‌ها در صنایع فضایی می‌باشد.

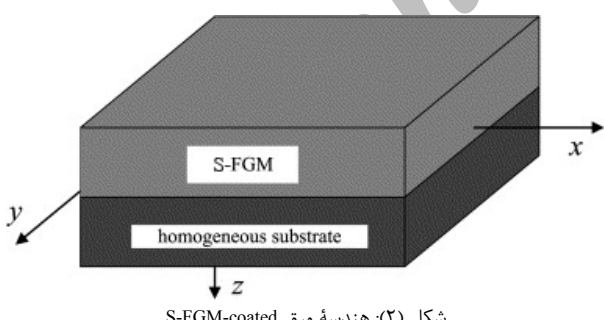
۲- شرح مسئله و معادلات حاکم

۲-۱- شرح مسئله

در این مسئله ارتعاشات آزاد سه ورق بررسی شده است: ۱) یک ورق FGM، شکل (۱). ۲) یک ورق هموزن که با FGМ پوشانده شده که S-FGM-coated نامیده شده، (شکل ۲).



شکل (۱): هندسه ورق



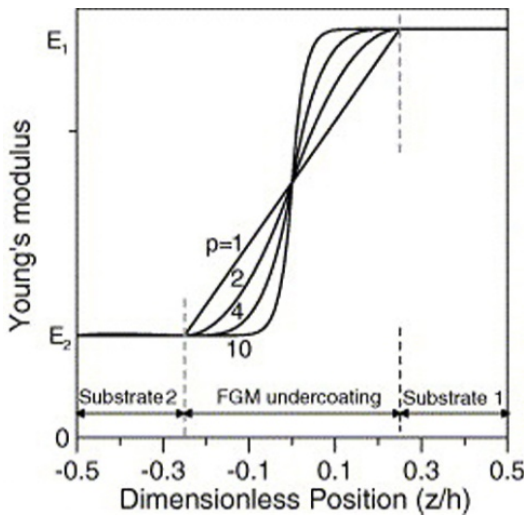
شکل (۲): هندسه ورق

و ۳) بررسی یک ورق FGM که بین دو ورق هموزن قرار گرفته که FGM-undercoated FGM نامیده شده، شکل (۳)، می‌باشد. ضربی پواسون ورقها ثابت ولی مدول یانگ در راستای ضخامت متغیر فرض شده اند. تغییرات مدول یانگ ورق تابعی به صورت تابع² S-FGM نامیده شود، شکل (۱)، که ترکیب دو تابع قانون توانی^۳ می‌باشد.

2-Sigmoid function
3-Power-law function

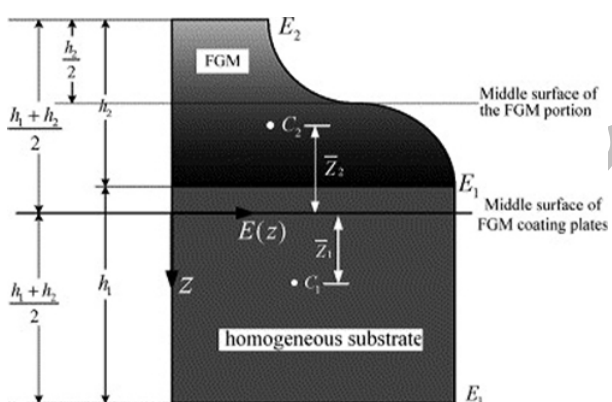
mesh less یا بدون المان بوده است. شاخه الاستیک کمانش صفحات FGM تحت بار فشاری صفحه‌ای توسط [۲۴] بر مبنای ترکیب میکرومکانیکال مطالعه شده است. [۲۵] خمش متقاضان محوری و حل کمانش برای ورق دایره‌ای FGM بر مبنای تئوری مرتبه سوم ورق و تئوری کلاسیک ورق مطالعه کردند. به علاوه، پایداری دینامیکی پوسته‌های FGM مخروطی که در معرض فشار ضربه‌ای متناوب قرار گرفته توسط [۲۶] با استفاده از روش گالرکین مطالعه شده است.

همان طور که ذکر شد، تنش تکین در سطوح مشترک ساختارهای لمینیت به سبب عدم مطابقت ماده رخ می‌دهد. بنابراین مسائل لایه‌های FGM به عنوان پوشش در ساختارهای غشاء زیر لایه ای بکار برده شده یا به عنوان زیر پوشش در کامپوزیت‌های چند لایه جهت حذف تنشهای تکین خیلی مهم شده است. برای مسئله مرتبط با ساختارهای غشاء زیر لایه ای، بسیاری از محققان غشاء زیر لایه ای متوسط دارای ترک را تحقیق کرده اند. [۲۷] و [۲۸] و [۲۹] و [۳۰، ۳۱] و [۳۲] یا فرض شده غشاء نازک به یک ماده زیر لایه نیمه نامحدود ناهمسان محدود شده است، [۳۴، ۳۳، ۳۲، ۳۰]. به هر حال، به نظر می‌رسد که مسائل لایه FGM در ورقهای غشاء زیر لایه ای به عنوان یک پوشش یا در ساختارهای چند لایه ای به عنوان زیر پوشش استفاده شده است که مورد توجه بسیاری قرار گرفته است. از این‌رو، در این مطالعه، توجه بر سه مسئله جلب شده است: ورق FGM-coated و ورق FGM-undercoated همراه با شرایط مرزی کلاسیک و مقایسه آنها با ورق FGM در شرایط مشابه. تابع قانون توانی [۱۱] یا تابع نمائی ([۹، ۸، ۴، ۱]) در بسیاری از موارد جهت توصیف نسبت حجمی مواد متشکله FGM‌ها استفاده شده است. به هر حال، هنگامیکه قانون توانی یا تابع نمائی به عنوان تابع گرادیان ماده در یک کامپوزیت لمینیت FGM بکار برده شده، مخصوصاً برای FGM اضافه شده به کامپوزیت بی متریال به عنوان یک زیر پوشش، تمرکز تنش در یکی از سطوح مشترک پدیدار می‌شود، جائیکه ماده پیوسته بوده اما سریعاً تغییر می‌کند. [۴] یک تابع S مانند را برای نسبت حجمی خواص ماده FGM پیشنهاد کرد که مرکب از دو تابع قانون توانی از نسبت حجمی جهت توصیف FGM هست و بدین گونه اشکالات تابع قانون توانی و S-FGM ها نامیه شده اند. [۳۰، ۴] نشان دادند هنگامی که S-FGM بر کامپوزیت به عنوان پوشش زیر لایه بکار می‌رود، تنش در هر یک از سطوح مشترک کامپوزیت FGM هموار است و تنش تکین بر سطوح مشترک حذف می‌شود. با توجه به اینکه در هر مسئله

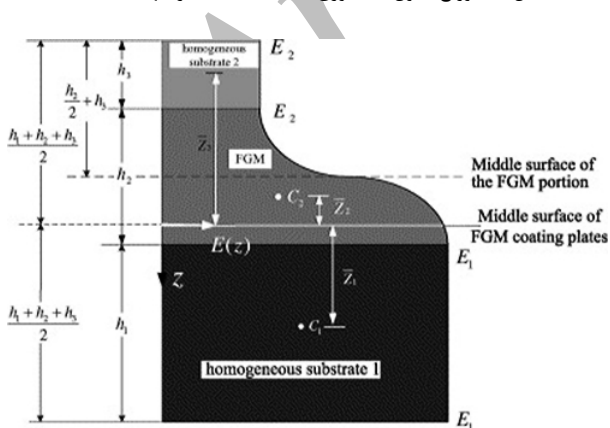


شکل(۴): تغییر مدول یانگ ورق برای S-FGM-undercoated

اشکال (۵) و (۶) به ترتیب نمودار توزیع مدول یانگ ورق S-FGM-undercoated و S-FGM-coated می باشد.

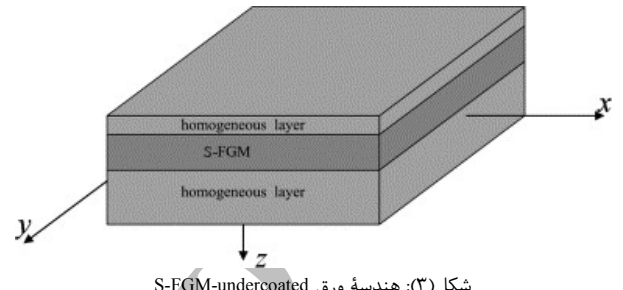


شکل(۵): توزیع مدول یانگ ورق S-FGM-coated در جهت ضخامت



شکل(۶): توزیع مدول یانگ ورق S-FGM-undercoated در جهت ضخامت

بنابراین این ورقها برای سادگی S-FGM و S-FGM-coated و FGM-undercoated نامیده شده است.



شکل(۳): هندسه ورق S-FGM-undercoated

مدول یانگ بدین صورت تعریف شده است:

$$\begin{aligned} E(z) &= E_2 & \text{for } -\frac{h_1 + h_2 + h_3}{2} \leq z \leq \frac{h_1 + h_2 + h_3}{2} \\ E(z) &= E_2 + (E_1 - E_2) & \text{for } \frac{1}{2} \left(\frac{z - (h_3 - h_1 - h_2)/2}{h_2/2} \right)^p \end{aligned} \quad (1)$$

$$\text{for } \frac{h_3 - h_1 - h_2}{2} \leq z \leq \frac{h_3 - h_1}{2}$$

$$\begin{aligned} E(z) &= E_2 + (E_1 - E_2) & \text{for } -\frac{z + (h_2 + h_3 - h_1)/2}{h_2/2} \leq z \leq \frac{h_2 + h_3 - h_1}{2} \\ \text{for } & \frac{h_3 - h_1}{2} \leq z \leq \frac{h_2 + h_3 - h_1}{2} \end{aligned} \quad (2)$$

$$\begin{aligned} E(z) &= E_1 & \text{for } \frac{h_2 + h_3 - h_1}{2} \leq z \leq \frac{h_1 + h_2 + h_3}{2} \end{aligned}$$

که در ورق S-FGM $h_3 = 0$ و در ورق S-FGM-coated $h_1 = h_3 = 0$ می باشد. در شکل(۴)، توزیع مدول یانگ ورق S-FGM-undercoated برای پارامترهای مختلف ماده یا پارامتر p توان در رابطه مدول یانگ ارایه گردیده است:

کرنشها در صفحه میانی هستند. کمیت W تغییر مکان در جهت z می باشد. منتجه های تنش بر واحد طول صفحه میانی بوسیله انتگرال گیری تنش ها در ضخامت تعیین شده اند. بنابراین نیروهای محوری در صفحه N_x, N_y, N_{xy} و ممانهای خمشی بر واحد طول صفحه میانی، M_x, M_y, M_{xy} به صورت زیر تعریف شده اند:

$$\begin{aligned} N_x &= \int_{-h/2}^{h/2} \sigma_x dz, \quad N_y = \int_{-h/2}^{h/2} \sigma_y dz, \\ N_{xy} &= \int_{-h/2}^{h/2} \tau_{xy} dz, \quad M_x = \int_{-h/2}^{h/2} z \sigma_x dz, \\ M_y &= \int_{-h/2}^{h/2} z \sigma_y dz, \quad M_{xy} = \int_{-h/2}^{h/2} z \tau_{xy} dz \end{aligned} \quad (4)$$

سپس، با جانشانی معادلات (۳) در معادلات فوق، نیروهای محوری در صفحه و ممانهای خمشی در ترمهای از کرنشهاي صفحه میانی و خیز به صورت ذیل بیان شده اند:

$$\begin{aligned} \begin{Bmatrix} N_x \\ N_y \\ N_{xy} \end{Bmatrix} &= \begin{bmatrix} A_{11} & A_{12} & 0 \\ A_{12} & A_{11} & 0 \\ 0 & 0 & 0 \end{bmatrix} \begin{Bmatrix} \varepsilon_x_0 \\ \varepsilon_y_0 \\ \gamma_{xy}_0 \end{Bmatrix} \\ &+ \begin{bmatrix} B_{11} & B_{12} & 0 \\ B_{12} & B_{11} & 0 \\ 0 & 0 & 0 \end{bmatrix} \begin{Bmatrix} -\frac{\partial^2 w}{\partial x^2} \\ -\frac{\partial^2 w}{\partial y^2} \\ -2 \frac{\partial^2 w}{\partial x \partial y} \end{Bmatrix} \end{aligned} \quad (5)$$

$$\begin{aligned} \begin{Bmatrix} M_x \\ M_y \\ M_{xy} \end{Bmatrix} &= \begin{bmatrix} B_{11} & B_{12} & 0 \\ B_{12} & B_{11} & 0 \\ 0 & 0 & 0 \end{bmatrix} \begin{Bmatrix} \varepsilon_x_0 \\ \varepsilon_y_0 \\ \gamma_{xy}_0 \end{Bmatrix} \\ &+ \begin{bmatrix} C_{11} & C_{12} & 0 \\ C_{12} & C_{11} & 0 \\ 0 & 0 & 0 \end{bmatrix} \begin{Bmatrix} -\frac{\partial^2 w}{\partial x^2} \\ -\frac{\partial^2 w}{\partial y^2} \\ -2 \frac{\partial^2 w}{\partial x \partial y} \end{Bmatrix} \end{aligned} \quad (6)$$

که ضرایب A_{ij}, B_{ij}, C_{ij} انتگرال خواص مادی ورقهای S-FGM هستند و آنها بدین گونه S-FGM-undercoated و S-FGM-coated هستند:

$$(A_{11}, B_{11}, C_{11}) = \int_{-h/2}^{h/2} \frac{1}{1 - \nu(z)^2} \times (E(z), zE(z), z^2 E(z)) dz, \quad (7a)$$

۲-۲- معادلات حاکم

برای مساله شرح داده شده فرض می شود که ضخامت ورقها متوسط می باشدند که ضخامت کل h در دامنه $\frac{1}{20} - \frac{1}{100}$ می باشد. تغییر شکلها و تنشهای ورق های ذکر شده بر مبنای فرضیات ذیل هستند:

۱- المانهای خط عمود بر سطح میانی ورق قبل از تغییر شکل به طور نرمال و بعد از تغییر شکل بدون کشیده شدن باقی می مانند.

۲- خیزهای ورق S-FGM-coated و S-FGM undercoated در مقایسه با کل ضخامتشان کوچک هستند، به این دلیل روابط کرنش - تغییر مکان صحیح هستند.

۳- از تنش نرمال در جهت ضخامت می توان صرف نظر نمود، زیرا نسبت ضخامت به ابعاد در بازه $\frac{1}{20} - \frac{1}{100}$ از اندازه آنها فرض شده، کوچک می باشد.

باید توجه شود که حذف تغییر شکل برشی هنگامی که ورق ضخیم بطور متوسط با اندازه بزرگتر از $1/100$ اندازه ورق بکار گرفته شده باشد می تواند به خطاهای مهمی منجر شود. به هر حال، [۳۳] نشان دادند که برای یک ورق با ضخامت کمتر از $1/100$ اندازه اش (نسبت ضخامت به بعد بزرگتر ورق) از تئوری کلاسیک صفات انتظار کسب نتایج خوبی می رود. در این تحقیق، نسبت ضخامت به بزرگترین بعد ورق های S-FGM و S-FGM-coated undercoated نسبت ضخامت کمتر از $1/100$ در محدوده $\frac{1}{20}$ تا $\frac{1}{100}$ هستند، بنابراین تغییر

شکلهاي برشی عرضی قابل صرف نظر کردن هستند. بر پایه فرضیات فوق، روابط تنش - کرنش ورقهای S-FGM-coated، S-FGM یا S-FGM-undercoated برای شرایط تنش صفحه ای عبارتند از:

$$\sigma_x = \frac{E(z)}{1 - \nu(z)^2} \left\{ \varepsilon_{x0} + \nu(z) \varepsilon_{y0} - z \left[\frac{\partial^2 w}{\partial x^2} + \nu(z) \frac{\partial^2 w}{\partial y^2} \right] \right\}, \quad (3a)$$

$$\sigma_y = \frac{E(z)}{1 - \nu(z)^2} \left\{ \varepsilon_{y0} + \nu(z) \varepsilon_{x0} - z \left[\frac{\partial^2 w}{\partial y^2} + \nu(z) \frac{\partial^2 w}{\partial x^2} \right] \right\}, \quad (3b)$$

$$\tau_{xy} = \frac{E(z)}{1 - \nu(z)^2} \left(\frac{1 - \nu(z)}{2} \right) \left[\gamma_{xy0} - 2z \frac{\partial^2 w}{\partial x \partial y} \right], \quad (3c)$$

$$\varepsilon_{x0} = \frac{\partial u_0(x, y)}{\partial x}, \quad \varepsilon_{y0} = \frac{\partial v_0(x, y)}{\partial y}, \quad \gamma_{xy0} = \frac{\partial u_0}{\partial y} + \frac{\partial v_0}{\partial x} \quad \text{که}$$

$$\begin{aligned} Q_{11} &= \frac{(A_{12}B_{12} - A_{11}B_{11})}{\Delta}, \quad Q_{12} = \frac{(A_{12}B_{11} - A_{11}B_{12})}{\Delta} \\ Q_{66} &= -\frac{B_{66}}{A_{66}}, \quad \Delta = A_{11}^2 - A_{12}^2 \\ S_{11} &= B_{11}Q_{11} + B_{12}Q_{12} + C_{11} \\ S_{12} &= B_{11}Q_{12} + B_{12}Q_{11} + C_{12} \\ S_{66} &= C_{66} + B_{66}Q_{66} \end{aligned} \quad (12)$$

برای ماده ای که فرض شده ضریب پوآسون ثابت و مدول یانگ درجهت خامت متغیر باشد، ضرایب فوق به صورت زیر تبدیل می شوند:

$$\begin{aligned} (A_{12}, B_{12}, C_{12}) &= \nu(A_{11}, B_{11}, C_{11}); \\ (A_{66}, B_{66}, C_{66}) &= \frac{1-\nu}{2}(A_{11}, B_{11}, C_{11}); \\ (Q_{12}, S_{12}) &= \nu(0, S_{11}); \\ (Q_{66}, S_{66}) &= \left(Q_{11}, \frac{1-\nu}{2}S_{11}\right); \\ Q_{11} &= -\frac{B_{11}}{A_{11}}, \quad S_{11} = B_{11}Q_{11} + C_{11} \end{aligned} \quad (13)$$

در نهایت با ساده سازی، معادله ارتعاش آزاد ورقهای S-FGM-undercoated و FGM-coated بدین صورت ساده می شود:

$$S_{11}\nabla^4 w = -I_0 \frac{\partial^2 w}{\partial t^2} \quad (14)$$

۳- حل کلی

۱-۳- ارتعاش آزاد برای شرایط مرزی چهار طرف تکیه گاه ساده

شرایط مرزی برای تکیه گاه های ساده، گیر دار و آزاد مطابق جدول (۱) می باشند.

جدول (۱): شرایط مرزی برای تکیه گاه های ساده، گیر دار و آزاد

| Boundary conditions | |
|---------------------|----------------------|
| Simply support | $w = 0 \quad M = 0$ |
| Clamp | $w = 0 \quad w' = 0$ |
| Free | $M = 0 \quad V = 0$ |

برای ارتعاش طبیعی، حل به صورت ذیل فرض شده است:

$$w_0(x, y, t) = w(x, y)e^{i\omega t}$$

با جانشانی رابطه فوق در شرط مرزی تکیه گاه ساده نتیجه می شود:

$$(A_{12}, B_{12}, C_{12}) = \int_{-h/2}^{h/2} \frac{\nu}{1-\nu(z)^2} \times (E(z), zE(z), z^2 E(z)) dz, \quad (\text{vB})$$

$$(A_{66}, B_{66}, C_{66}) = \int_{-h/2}^{h/2} \frac{1}{2(1+\nu(z))} \times (E(z), zE(z), z^2 E(z)) dz, \quad (\text{vC})$$

بر اساس معادله ناویر در غیاب نیروهای جسمی برای ورقهای ذکر شده داریم:

$$\frac{\partial \sigma_{ij}}{\partial x_j} = \rho(z) \frac{\partial^2 u_i}{\partial t^2}$$

که پس از بسط معادله فوق و ساده سازی نتیجه می شود:

$$\frac{\partial^2 M_x}{\partial x^2} + 2 \frac{\partial^2 M_{xy}}{\partial x \partial y} + \frac{\partial^2 M_y}{\partial y^2} + q_z(x, y) = I_0 \frac{\partial^2 w}{\partial t^2} \quad (\text{A})$$

که $I_0 = \int_{-h/2}^{h/2} \rho(z) dz$ با جانشانی معادله (۶) در معادله فوق خواهیم داشت:

$$\begin{aligned} B_{11} \left(\frac{\partial^2 \varepsilon_{x0}}{\partial x^2} + \frac{\partial^2 \varepsilon_{y0}}{\partial y^2} \right) + B_{12} \left(\frac{\partial^2 \varepsilon_{y0}}{\partial x^2} + \frac{\partial^2 \varepsilon_{x0}}{\partial y^2} \right) + \\ 2B_{66} \frac{\partial^2 \gamma_{xy0}}{\partial x \partial y} - C_{11} \left(\frac{\partial^4 w}{\partial x^4} + \frac{\partial^4 w}{\partial y^4} \right) - \\ (2C_{12} + 4C_{66}) + q_z = I_0 \frac{\partial^2 w}{\partial t^2} \end{aligned} \quad (9)$$

تابع تنش φ بدین صورت تعریف شده است:

$$N_x = \frac{\partial^2 \phi}{\partial y^2}, \quad N_y = \frac{\partial^2 \phi}{\partial x^2}, \quad N_{xy} = -\frac{\partial^2 \phi}{\partial x \partial y} \quad (10)$$

با بکار بردن معادله (۵) و معادله (۱۰) کرنشهای صفحه میانی به صورت ترمهایی از تابع تنش $(\phi(x, y) \text{ و } \psi(x, y))$ بدست می آیند که با جانشانی کرنشهای صفحه میانی در معادله (۹)، معادله حرکت بصورت ترمهایی از تابع تنش φ و خیز w بدست می آید:

$$\begin{aligned} Q_{12} \frac{\partial^4 \phi}{\partial x^4} + 2(Q_{11} - Q_{66}) \frac{\partial^4 \phi}{\partial x^2 \partial y^2} + Q_{12} \frac{\partial^4 \phi}{\partial y^4} + \\ S_{11} \frac{\partial^4 w}{\partial x^4} + 2(S_{12} + 2S_{66}) \frac{\partial^4 w}{\partial x^2 \partial y^2} \\ + S_{11} \frac{\partial^4 w}{\partial y^4} = q_z(x, y) - I_0 \frac{\partial^2 w}{\partial t^2} \end{aligned} \quad (11)$$

که:

(۲۰) و پس از ساده سازی و صفر قرار دادن دترمینان ضرایب، معادله مشخصه بدست خواهد آمد:

$$\Omega_1 \lambda_2 \bar{\Omega}_2 \sinh \lambda_1 b \cos \lambda_2 b - \Omega_2 \lambda_1 \bar{\Omega}_1 \cosh \lambda_1 b \sin \lambda_2 b = 0 \quad (21)$$

که در آن:

$$\begin{aligned} \Omega_1 &= \lambda_1^2 - \nu \alpha_m^2, & \Omega_2 &= \lambda_2^2 + \nu \alpha_m^2 \\ \bar{\Omega}_1 &= \lambda_1^2 - (2-\nu) \alpha_m^2, & \bar{\Omega}_2 &= \lambda_2^2 + (2-\nu) \alpha_m^2 \end{aligned} \quad (22)$$

۲-۲-۳- ارتعاش آزاد ورق با شرایط مرزی SFSC

با اعمال شرایط مرزی در لبه $y = 0$ و $y = b$ معادله مشخصه بدین صورت بدست خواهد آمد:

$$\begin{aligned} 2\lambda_1 \lambda_2 \Omega_1 \Omega_2 + \lambda_1 \lambda_2 (\Omega_1^2 + \Omega_2^2) \cosh \lambda_1 b \cos \lambda_2 b \\ - (\lambda_1^2 \Omega_2^2 - \lambda_2^2 \Omega_1^2) \sinh \lambda_1 b \sin \lambda_2 b = 0 \end{aligned} \quad (24)$$

۲-۲-۳- ارتعاش آزاد ورق با شرایط مرزی SCSC

با اعمال شرایط مرزی در لبه $y = 0$ و $y = b$ معادله مشخصه بدین صورت بدست خواهد آمد:

$$\begin{aligned} 2\lambda_1 \lambda_2 - \lambda_2^2 \sinh \lambda_1 b \sin \lambda_2 b - 2\lambda_1 \lambda_2 \\ \times \cosh \lambda_1 b \cos \lambda_2 b + \lambda_1^2 \sinh \lambda_1 b \sin \lambda_2 b = 0 \end{aligned} \quad (25)$$

۲-۲-۳- ارتعاش آزاد ورق با شرایط مرزی SSSC

با اعمال شرایط مرزی در لبه $y = 0$ و $y = b$ معادله مشخصه بدین صورت بدست خواهد آمد:

$$\lambda_1 \cosh \lambda_1 b \sin \lambda_2 b - \lambda_2 \sinh \lambda_1 b \cos \lambda_2 b = 0 \quad (26)$$

۲-۲-۳- ارتعاش آزاد ورق با شرایط مرزی SFSF

با اعمال شرایط مرزی در لبه $y = 0$ و $y = b$ معادله مشخصه بدین صورت بدست خواهد آمد:

$$2(1 - \cosh \lambda_1 b \cos \lambda_2 b) + \left(\beta_0 - \frac{1}{\beta_0} \right) \sinh \lambda_1 b \sin \lambda_2 b = 0 \quad (27)$$

که در آن:

$$\beta_0 = \frac{\lambda_1 \Omega_2 \bar{\Omega}_1}{\lambda_2 \Omega_1 \bar{\Omega}_2}$$

که در آن مقادیر $\Omega_1, \Omega_2, \bar{\Omega}_1, \bar{\Omega}_2$ در رابطه (۲۳) داده شده است.

۴- ضرایب A_{11}, B_{11}, C_{11}

برای S-FGM-undercoated S-FGM و S-FGM-coated S-FGM با ضریب پوآسون ثابت، پارامترهای A_{11}, B_{11}, C_{11} در معادله (۷a) بدین صورت تعریف شده اند:

$$S_{11} \left(\frac{\partial^4 w}{\partial x^4} + 2 \frac{\partial^4 w}{\partial x^2 \partial y^2} + \frac{\partial^4 w}{\partial y^4} \right) - \omega^2 (I_0 w) = 0 \quad (15)$$

با استفاده از فرآیند حل ناویر، حل را به صورت زیر فرض می کنیم که شرایط مرزی را برای حالتی که چهار طرف ورقها تکیه گاه ساده می باشد را ارضا می کند:

$$w(x, y) = W_{mn} \sin \frac{m\pi x}{a} \sin \frac{n\pi y}{b} \quad (16)$$

و حل آن برای ω ، رابطه فرکانس طبیعی ورقها بدین بدست می آید:

$$\omega_{mn} = \sqrt{\frac{S_{11}}{I_0}} \pi^2 \left(\frac{m^2}{a^2} + \frac{n^2}{b^2} \right) \quad m, n = 1, 2, 3, \dots \quad (17)$$

۲-۳- ارتعاش طبیعی ورق با دولبه تکیه گاه ساده موازی:

معادله (۱۵) برای ورقهای ذکر شده که دارای دولبه تکیه گاه ساده روبروی یکدیگر هستند و دولبه دیگر هر نوع شرط مرزی گیردار، تکیه گاه ساده و آزاد می باشند، را می توان از روش لوی حل نمود. جواب به صورت ذیل فرض شده است:

$$w(x, y) = W_m(y) \sin \alpha_m x, \quad \alpha_m = \frac{m\pi}{a} \quad (18)$$

با جایگذاری رابطه (۱۸) در شرایط مرزی تکیه گاه ساده نتیجه می شود:

$$(S_{11} \alpha_m^4 - \omega^2 I_0) W - 2S_{11} \alpha_m^2 \frac{d^2 W}{dy^2} + S_{11} \frac{d^4 W}{dy^4} = 0 \quad (19)$$

معادله فوق می تواند برای فرکانس‌های طبیعی و شکل مدها بصورت تحلیلی حل شود. بنابراین حل کلی برای $\omega^2 \geq \frac{\alpha_m^4 S_{11}}{I_0}$ بدین صورت خواهد بود:

$$\begin{aligned} w(x, y) &= (A \cosh \lambda_1 y + B \sinh \lambda_1 y + C \cos \lambda_2 y \\ &+ D \sin \lambda_2 y) \sin \alpha_m x, \quad \alpha_m = \frac{m\pi}{a} \end{aligned} \quad (20)$$

که در آن:

$$\lambda_1^2, \lambda_2^2 = \frac{\omega \sqrt{S_{11} I_0} \pm \alpha_m^2 S_{11}}{S_{11}} \quad (21)$$

۲-۲-۱- ارتعاش آزاد ورق با شرایط مرزی SFSS

شرط مرزی SFSS یعنی کاراکتر اول مربوط به لبه $x = 0$ می باشد (در اینجا تکیه گاه ساده) و بقیه کاراکترها به صورت ساعتگرد تغییر می کند. با اعمال شرایط مرزی در لبه $y = 0$ و $y = b$ در معادله

تئوری محور موازی جهت محاسبه فرمولهای A_{11}, B_{11}, C_{11} برای هر دو ورقهای S-FGM-undercoated و S-FGM-coated معرفی می گردد. برای ورق S-FGM-undercoated ضخامتها در لایه بالائی h_3 بخش FGM برابر h_2 و لایه پائینی h_1 هستند، (مطابق تصویر نشان داده شده در شکل(۶)).

ضرایب A_{11}, B_{11}, C_{11} برای ورقهای S-FGM-undercoated صورت $A_{11}^u, B_{11}^u, C_{11}^u$ تغییر نام داده شده اند که بالاترین "u" برای نمایش دادن ورقهای S-FGM-undercoated می باشد. کمیتهای

ضرایب $A_{11}^u, B_{11}^u, C_{11}^u$ بدین صورت تعریف شده اند:

$$A_{11}^u = \int_{\frac{h_1+h_2+h_3}{2}}^{\frac{h_1+h_2+h_3}{2}} \frac{E(z)}{(1-\nu^2)} dz \quad (29a)$$

$$B_{11}^u = \int_{\frac{h_1+h_2+h_3}{2}}^{\frac{h_1+h_2+h_3}{2}} \frac{E(z)}{(1-\nu^2)} z dz \quad (29b)$$

$$C_{11}^u = \int_{\frac{h_1+h_2+h_3}{2}}^{\frac{h_1+h_2+h_3}{2}} \frac{E(z)}{(1-\nu^2)} z^2 dz \quad (29c)$$

می توانند به راحتی با مفهوم سطح، ممان اول سطح و ممان دوم سطح تعیین گردند. مجدداً بیان می گردد که ترم مساوی مساحت تحت منحنی $(1-\nu^2)A_{11}^u$ از $E(z)$ می باشد. بنابراین:

$$\frac{(h_1+h_2+h_3)}{2} \text{ تا } z = -\frac{(h_1+h_2+h_3)}{2}$$

$$A_{11}^u = A_{11} + \frac{1}{1-\nu^2} (E_2 h_3 + E_1 h_1) \quad (30)$$

که در آن کمیت A_{11} در معادله (۳۰)، در معادله (۲۸a) داده شده است. ترم $(1-\nu^2)B_{11}^u$ ممان اول سطح زیر منحنی $E(z)$ نسبت به محور $z=0$ هست.

$$(1-\nu^2)B_{11}^u = \sum (Area)_i \times \bar{z}_i$$

که \bar{z} بیانگر فاصله از مرکز نقل تا محور $z=0$ می باشد. مساحت در بخش لایه پائینی $E_1 h_1$ و \bar{z} برابر $\frac{h_2+h_3}{2}$ می باشد. همچنین مساحت در بخش لایه بالائی $E_2 h_3$ و \bar{z} برابر $-\frac{h_1+h_2}{2}$ می باشد. به طور مشابه مساحت در بخش FGM $\frac{B_{11}}{A_{11}} - \frac{h_1-h_3}{2}$ برابر است. در نتیجه، ضریب

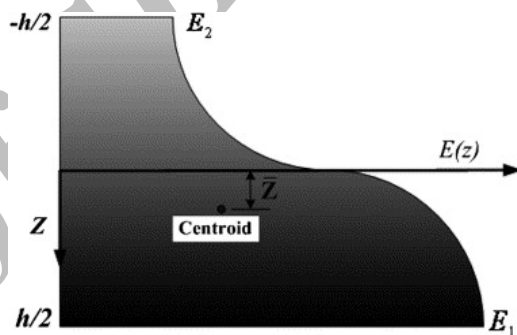
برای ورقهای S-FGM-coated B_{11}^u بدین صورت بدست می آید:

$$(A_{11}, B_{11}, C_{11}) = \frac{1}{1-\nu^2} \int_{-h/2}^{h/2} (E(z), zE(z), z^2 E(z)) dz$$

که در آن h ضخامت کل ورق می باشد، که برای ورقهای S-FGM-undercoated $h = h_1 + h_2$ و برای ورقهای S-FGM-coated $h = h_1 + h_2 + h_3$ می باشد. انتگرالها در معادله (۷) که مقادیر A_{11}, B_{11}, C_{11} را می دهد، برای ورق S-FGM با انتگرال گیری ساده بدست می آیند ولی برای هر یک از ورقهای S-FGM-coated و S-FGM-undercoated پیچیده می شود.

۱-۴- ضرایب A_{11}, B_{11}, C_{11} برای ورق S-FGM

در ابتدا، فقط یک ورق FGM به تنها یاری بررسی می گردد. توزیع مدول یانگ یک ورق FGM در شکل(۵) نشان داده شده است.



شکل(۵): توزیع مدول یانگ یک ورق S-FGM در جهت ضخامت

ضرایب A_{11}, B_{11}, C_{11} برای ورقهای FGM که تغییرات خواص ماده از توابع S مانند پیروی می کند، همان طور که قبلاً گفته شد، ورق S-FGM نامیده شده، می تواند با انتگرال گیری ساده محاسبه گردد و آنها هستند:

$$A_{11} = \frac{h}{1-\nu^2} \left(\frac{E_1 + E_2}{2} \right) \quad (28a)$$

$$B_{11} = \frac{h^2}{8(1-\nu^2)} (E_1 - E_2) \frac{p^2 + 3p}{(p+1)(p+2)} \quad (28b)$$

$$C_{11} = \frac{h^3}{12(1-\nu^2)} \left(\frac{E_1 + E_2}{2} \right) \quad (28c)$$

۲-۴- ضرایب A_{11}, B_{11}, C_{11} برای ورق S-FGM- undercoated

عبارت $(1-\nu^2)A_{11}$ مساوی مساحت زیر منحنی $E(z)$ در محدوده $z=\frac{h}{2}$ و $z=-\frac{h}{2}$ می باشد. پارامترهای C_{11}, B_{11} به اولین و

دومین ممان سطح زیر منحنی $E(z)$ از $z=\frac{h}{2}$ تا $z=-\frac{h}{2}$ نسبت به محور $z=0$ وابسته اند. بنابراین، مفهوم ممان سطح و

با روش مشابه ورقهای S-FGM-undercoated برای ورقهای S-FGM-coated $A_{11}^c, B_{11}^c, C_{11}^c$ بر مبنای مفهوم ممان سطح و تئوری محور موازی می‌توانند بدست بیایند. همچنین می‌توان مقدار h_3 را در ضرایب $A_{11}^u, B_{11}^u, C_{11}^u$ بدست آمده برای ورقهای S-FGM-undercoated برابر صفر قرار داد، در نتیجه ضرایب $A_{11}^c, B_{11}^c, C_{11}^c$ خواهد بود:

$$A_{11}^c = A_{11} + \frac{E_1 h_1}{1 - \nu^2} \quad (34a)$$

$$B_{11}^c = \frac{E_1 h_1 h_2}{(1 - \nu^2)} + B_{11} - A_{11} \frac{h_1}{2} \quad (34b)$$

$$C_{11}^c = \frac{1}{12(1 - \nu^2)} [E_1 h_1 (h_1^2 + 3h_2^2)] + C_{11} - B_{11} h_1 + \frac{A_{11} h_1^2}{4} \quad (34c)$$

۵- نتایج عددی

در این بخش، فرکانس های طبیعی برای ورقهای S-FGM و S-FGM-undercoated و S-FGM-coated را برای ۶ حالت شرایط مرزی کلاسیک و برای دو حالت مختلف $p=1, 10$ محاسبه شده است. همچنین این ورقها با شرایط مرزی و حالتهای ذکر شده با نرم افزار المان محدود ABAQUS نیز مدل شده و فرکانس‌های طبیعی آنها محاسبه شده است و با حل تحلیلی مقایسه گردیده است. سپس فرکانس طبیعی اول را برای نسبتهای مختلف طول به عرض ($\frac{a}{b}$) برای هر سه ورقهای فوق الذکر استخراج شده است و در نمودارهای (۸) و (۹) آرائه گردیده است. شکل مدهای ارتعاشی نیز ترسیم شده اند. مشخصات مادی و هندسی ورقهای مورد مطالعه در جدول (۲) آرائه گردیده است.

جدول (۲): مشخصات مادی و هندسی ورقهای مورد مطالعه

| Materials | Young Modulus | Density |
|-----------------------------|---|---|
| Zirconia(ZRO ₂) | $E_1 = 2 \times 10^7 \frac{\text{kg}}{\text{cm}^2}$ | $\rho_1 = 0.0057 \frac{\text{kg}}{\text{cm}^3}$ |
| Aluminum(AL) | $E_2 = 7 \times 10^6 \frac{\text{kg}}{\text{cm}^2}$ | $\rho_2 = 0.0078 \frac{\text{kg}}{\text{cm}^3}$ |

$$\nu = 0.3 \quad a = b = 100 \text{ cm} \quad \frac{a}{b} = 0.5, 0.7, 1, 1.5, 2$$

ضخامت برای ورق S-FGM 2 cm ، برای ورق S-FGM-coated، ضخامت برای بخش $S-FGM$ 1 cm و برای لایه هموزن نیز 1 cm می‌باشد. برای ورق S-FGM-undercoated ضخامت بخش S-FGM 1 cm و برای لایه های هموزن بالائی و پائینی به ترتیب 0.25 cm و 0.75 cm در نظر گرفته شده اند. بنابراین در همه ورقها نسبت $\frac{1}{50}$ می‌باشد. مقادیر A_{11}, B_{11}, C_{11} و

$$B_{11}^u = \frac{1}{(1 - \nu^2)} \left[E_1 h_1 \left(\frac{h_2 + h_3}{2} \right) - E_2 h_3 \left(\frac{h_1 + h_2}{2} \right) \right] \quad (31)$$

$$+ A_{11} \left(\frac{B_{11}}{A_{11}} - \frac{h_1 - h_3}{2} \right)$$

ترم $(1 - \nu^2) C_{11}^u$ مساوی ممان دوم سطح زیر منحنی $E(z)$ نسبت به محور $z = 0$ می‌باشد. مطابق با تئوری محور موازی، مقدار محور مرکز ثقلش به علاوه Ad^2 می‌باشد، که A سطح موردنظر تا محور $z = 0$ می‌باشد. بنابراین $(1 - \nu^2) C_{11}^u$ در بخش لایه پائینی برابر $\frac{E_1 h_1^3}{12} + E_1 h_1 \left(\frac{h_2 + h_3}{2} \right)^2$ می‌باشد؛ همچنین در بخش لایه پائینی $\frac{E_1 h_3^3}{12} + E_2 h_3 \left(-\frac{h_1 + h_2}{2} \right)^2$ می‌باشد و آن در بخش FGM ورق S-FGM-undercoated به صورت $C_{11} + A_{11} \left(\frac{B_{11}}{A_{11}} \right)^2 + A_{11} \left(\frac{B_{11} - h_1 - h_3}{A_{11}} \right)^2$ می‌باشد. پس از ساده سازی، ضریب C_{11}^u برای ورقهای S-FGM-undercoated بدین صورت بدست می‌آید:

$$C_{11}^u = \frac{1}{(1 - \nu^2)} \left[\frac{1}{12} E_1 h_1 (h_1^2 + 3h_2^2 + 6h_2 h_3 + 3h_3^2) \right. \quad (32)$$

$$+ \frac{1}{12} E_2 h_3 (3h_1^2 + 6h_1 h_3 + 3h_2^2 + h_3^2) \left. \right]$$

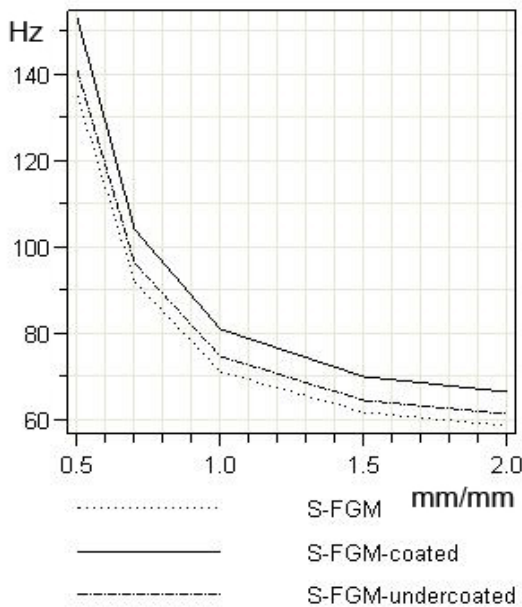
$$+ \left(C_{11} - B_{11} (h_1 - h_3) + \frac{A_{11} (h_1 - h_3)^2}{4} \right)$$

۴-۳-۴- ضرایب برای ورق A_{11}, B_{11}, C_{11} برای ورق S-FGM-coated ضخامتها در بخش FGM و زیر لایه به ترتیب h_1 و h_2 هستند، (مطابق تصویر نشان داده شده در شکل (۵)). ضرایب A_{11}, B_{11}, C_{11} برای ورقهای S-FGM-coated تغییر نام داده شده اند که بالاترین "c" برای نمایش دادن ورقهای S-FGM-coated می‌باشد. کمیتهای $A_{11}^c, B_{11}^c, C_{11}^c$ می‌باشد. کمینهای $A_{11}^c, B_{11}^c, C_{11}^c$ بدین صورت تعریف شده اند:

$$A_{11}^c = \int_{\frac{h_1+h_2}{2}}^{\frac{h_1+h_2}{2}} \frac{E(z)}{(1 - \nu^2)} dz \quad (33a)$$

$$B_{11}^c = \int_{\frac{h_1+h_2}{2}}^{\frac{h_1+h_2}{2}} \frac{E(z)}{(1 - \nu^2)} z dz \quad (33b)$$

$$C_{11}^c = \int_{\frac{h_1+h_2}{2}}^{\frac{h_1+h_2}{2}} \frac{E(z)}{(1 - \nu^2)} z^2 dz \quad (33c)$$

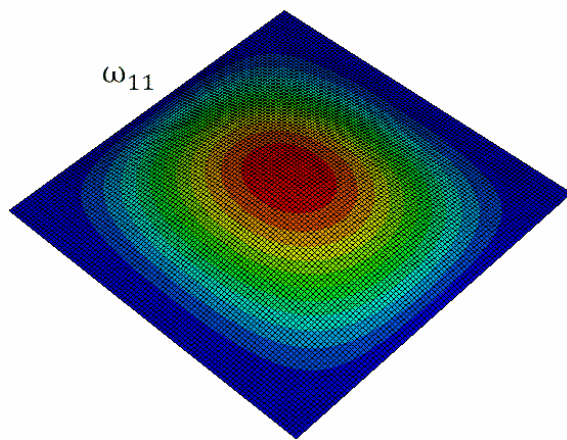


شکل(۹): نمودار فرکانس طبیعی اول برای نسبت‌های مختلف a/b برای ورقهای S-FGM, S-FGM-coated, S-FGM-undercoated

$$\text{جدول(۴): فرکانسهای بی بعد } \omega_{mn} = b^2 \times \sqrt{\frac{I_0}{S_{11}}}$$

فرکانسهای بی بعد برای ورقهای مربعی و برای شرط مرزی SCSC

| Nondimensional frequency | S-FGM & S-FGM-coated & S-FGM-undercoated | فرکانس های بی بعد در [31] |
|--------------------------|--|---------------------------|
| $\bar{\omega}_{11}$ | 28.950 | 28.946 |
| $\bar{\omega}_{12}$ | 69.326 | 69.320 |



شکل(۱۰): شکل مد اول ارتعاشی بدست آمده از نرم افزار ABAQUS برای ورقهای S-FGM, S-FGM-coated, S-FGM-undercoated برای شرط مرزی SCSC

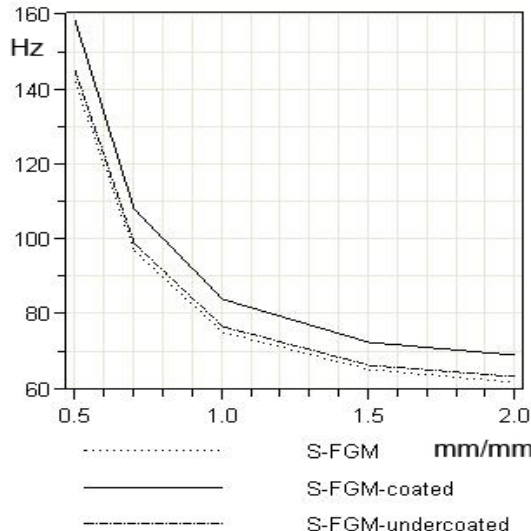
I_0 نیز از روابط بخش ۴ قابل محاسبه می باشد. با بکار گیری معادله مشخصه (۲۹) برای شرط مرزی SCSC مقدار فرکانس طبیعی اول برای هر سه ورقهای برای $p=1$ و $p=10$ بدست می آید که در جدول(۳) با نتایج نرم افزار المان محدود ABAQUS مقایسه گردیده اند:

جدول(۳): فرکانسهای طبیعی اول برای ورقهای S-FGM-coated, S-FGM و برای شرط مرزی SCSC برای سه ورقهای S-FGM0undercoated

| P=1 | نوع ورق | | |
|---------|---------|--------------|-------------------|
| | S-FGM | S-FGM-coated | S-FGM-undercoated |
| حل دقیق | 75.2716 | 83.9340 | 76.8485 |
| ABAQUS | 74.6756 | 83.2584 | 76.6171 |
| P=10 | نوع ورق | | |
| | S-FGM | S-FGM-coated | S-FGM-undercoated |
| حل دقیق | 71.4479 | 80.9787 | 74.7073 |
| ABAQUS | 71.8545 | 80.9588 | 74.9835 |

مقادیر فرکانس طبیعی اول برای مقادیر مختلف نسبت طول به عرض ورقها ، برای $p=1$ و $p=10$ بدست آمده اند و در نمودارهای تصاویر(۸) و (۹) ترسیم شده اند:

فرکانسهای بی بعد برای ورقهای مربعی در حالتی که نسبت ابعاد ورق یک می باشد، محاسبه گردیده و در جدول (۴) با مرجع [۳۱] مقایسه گردیده است. همچنین شکل مد اول ارتعاشی برای هر سه ورقهای بدست آمده از نرم افزار ABAQUS و حل دقیق به ترتیب در اشکال(۱۰) و (۱۱) ارائه گردیده است.



شکل(۸): نمودار فرکانس طبیعی اول برای نسبت‌های مختلف a/b برای ورقهای S-FGM, S-FGM-coated, S-FGM-undercoated

این یک مزیت در سازه می باشد، چون وقتی سازه در معرض بارهای دینامیکی قرار می گیرد، با بالاتر بودن فرکانس طبیعی، دیرتر به حالت تشدید می رسد.

- ۲ با افزایش مقدار پارامتر p ، در کلیه ورقهای، فرکانس طبیعی کاهش می یابد.
- ۳ با افزایش مقدار پارامتر p ، اختلاف بین فرکانس‌های طبیعی ورقهای S-FGM-undercoated و S-FGM می یابد.
- ۴ همان طور که ذکر شد، فرکانس های طبیعی ورق S-FGM-coated و ورقهای S-FGM-undercoated از آنجاییکه در ورق S-FGM بالاتر می باشد، از ضخامت S-FGM برای cm^2 می باشد ولی ضخامت بخش FGM در ورقهای S-FGM-undercoated و S-FGM-coated برابر $1 cm$ می باشد، پس مقدار ماده S-FGM کمتری در سازه بکار رفته در حالیکه فرکانس طبیعی هم بالاتر رفته است، پس می تواند از لحظه اقتصادی مقرن به صرفه باشد.
- ۵ به ازای b و h ثابت، با افزایش a ، در کلیه ورقهای، مقدار فرکانس‌های طبیعی کاهش می یابد.
- ۶ مقادیر فرکانس‌های طبیعی برای کلیه ورقهای، برای شرط مرزی SFSF کمترین و برای شرط مرزی SCSC بیشترین مقدار خود را دارد.

۷- مراجع

- [1] Jin, Z. H. and Batra, R. C., "Stresses Intensity Relaxation at the Tip of an Edge Crack in a Functionally Graded Material Subjected to a Thermal Shock", J Therm Stress, Vol. 19, No. 4, 1996, pp. 317- 339.
- [2] Hirano, T. and Yamada, T., "Multi-paradigm Expert System Architecture Based Upon the Inverse Design Concept", In: Proc of Int Workshop on Artificial Intelligence for Industrial Applications, 1998, pp. 25-27.
- [3] Niino, A. and Maeda, S., "Recent Development Status of Functionally Gradient Material", ISIJ Int, Vol. 30, 1990, pp. 699- 703.
- [4] Chung, Y. L. and Chi, S. H., "The Residual Stress of Functionally Graded Materials", J Chin Inst Civil Hydraulic Eng, Vol. 13, 2001, pp. 1- 9.
- [5] Chi, S. H. and Chung, Y. L., "Cracking in Sigmoid Functionally Graded Coating", J Mech, Vol. 18, 2002, pp. 41- 53.
- [6] Bao, G. and Wang, L., "Multiple Cracking in Functionally Graded Ceramic/Metal Coatings", Int J Solids Struct, Vol. 32, No. 19, 1995, pp. 2853- 2871.



شکل(۱۱): شکل مد اول ارتعاشی بدست آمده از حل دقیق برای ورقهای S-FGM، S-FGM-coated، S-FGM-undercoated فرکانس‌های طبیعی اول ω_1 برای ورقهای S-FGM-coated، S-FGM-undercoated و S-FGM با شرط مرزی مختلف برای $p=1$ و $p=10$ به ترتیب در جداول(۵) و (۶) ارائه گردیده است.

جدول(۵): فرکانس‌های طبیعی اول ω_1 برای ورقهای S-FGM-، S-FGM- undercoated .coated با شرایط مرزی مختلف و برای $p=1$

| frequency | S-FGM | S-FGM-coated | S-FGM-undercoated |
|-----------|---------|--------------|-------------------|
| SFSF | 25.0413 | 27.9232 | 25.5660 |
| SFSS | 30.3795 | 33.8757 | 31.0160 |
| SFSC | 32.9868 | 36.7757 | 33.6779 |
| SSSS | 51.3215 | 57.2277 | 52.3967 |
| SSSC | 61.4799 | 68.5552 | 62.7679 |
| SCSC | 76.8485 | 83.9340 | 75.2716 |

جدول(۶): فرکانس‌های طبیعی اول ω_1 برای ورقهای S-FGM- undercoated .coated با شرایط مرزی مختلف و برای $p=1$

| frequency | S-FGM | S-FGM-coated | S-FGM-undercoated |
|-----------|---------|--------------|-------------------|
| SFSF | 23.7693 | 26.9400 | 24.8536 |
| SFSS | 28.8363 | 32.6829 | 30.1518 |
| SFSC | 31.3111 | 35.4808 | 32.7395 |
| SSSS | 48.7144 | 55.2127 | 50.9368 |
| SSSC | 58.3568 | 66.1414 | 61.0190 |
| SCSC | 74.7073 | 80.9787 | 71.4479 |

۶- نتیجه گیری

طبق مقادیر عددی بدست آمده نتایج ذیل حاصل گردیده اند:

- ۱- فرکانس های طبیعی ورق های S-FGM-coated از S-FGM-undercoated بالاتر، و فرکانس‌های طبیعی ورقهای

- and Actuators", Int. J Solids Struct, Vol. 38, No. 9, 2001, pp. 1641- 1655.

[21] Chi, S. H. and Chung, Y. L., "Mechanical Behavior of Functionally Graded Material Plates under Transverse Load- Part I: Analysis", Int. J Solids Struct, Vol. 43, No. 13, 2006, pp. 3657- 3674.

[22] Chi, S. H. and Chung, Y. L., "Mechanical Behavior of Functionally Graded Material Plates under Transverse Load- Part II: Numerical Results", Int. J Solids Struct, Vol. 43, No. 13, 2006, pp. 3675- 3691.

[23] Ferreira, A. J. M., Batra, R. C., Roque, C. M. C., Qian, L. F. and Martins, P. A. L. S., "Static Analysis of Functionally Graded Plates Using Third-Order Shear Deformation Theory and a Meshless Method", Compos Struct, Vol. 69, No. 4, 2005, pp. 449- 457.

[24] Feldman, E. and Aboudi, J., "Buckling Analysis of Functionally Graded Plates Subjected to Uniaxial Loading", Compos Struct, Vol. 38, No. 1-4, 1997, pp. 29- 36.

[25] Ma, L. S. and Wang, T. J., "Relationships Between Axisymmetric Bending and Buckling Solutions of FGM Circular Plates Based on Third-Order Plate Theory and Classical Plate Theory", Int. J Solids Struct, Vol. 41, No. 1, 2004, pp. 85- 101.

[26] Sofiyev, A. H., "The Stability of Functionally Graded Truncated Conical Shells Subjected to Periodic Impulsive Loading", Int. J Solids Struct, Vol. 41, No. 13, 2004, pp. 3411- 3424.

[27] Chung, Y. L. and Pon, C. F., "Boundary Element Analysis of Cracked Film-Substrate Medium", Int. J Solids Struct, Vol. 38, No. 1, 2001, pp. 75- 90.

[28] Cook, T. S. and Erdogan, F., "Stresses in Bonded Materials with a Crack Perpendicular to the Interface", Int. J Eng. Sci, Vol. 10, No. 8, 1972, pp. 677- 697.

[29] Gecit, M. R., "Fracture of a Surface Layer Bonded to a Half Space", Int. J Eng. Sci, Vol. 17, No. 3, 1979, pp. 287- 295.

[30] Chung, Y. L. and Chen, T. W., "Bending Behavior of FGM-Coated and FGM-Undercoated Plates with Two Simply Supported Opposite Edges and Two Free Edges", Composite Structures, Vol. 81, No. 2, 2007, pp. 157- 167.

[31] Leissa, W., "Vibration of Plates", Ohio State University Columbus, Ohio, 1968.

[32] Reddy, J. N., "Theory and Analysis of Elastic Plates", 1974.

[33] Shames, I. H., Dym, C. L., "Energy and Finite Element Methods in Structural Mechanics", New York: McGraw-Hill; 1985.

[7] Chi, S. H. and Chung, Y. L., "Cracking in Coating-Substrate Composites of Multi-Layered and Sigmoid FGM Coatings", Eng Fract Mech, Vol. 70, No. 10, 2003, pp. 1227- 1243.

[8] Jin, Z. H. and Noda, N., "Crack Tip Singular Fields in Nonhomogeneous Materials", ASME J Appl Mech, Vol. 61, No. 3, 1994, pp. 738- 740.

[9] Gu, P. and Asaro, R. J., "Crack Deflection in Functionally Graded Materials", Int J Solids Struct, Vol. 34, No. 24, 1997, pp. 3085- 3098.

[10] Cai, H. and Bao, G., "Crack Bridging in Functionally Graded Coatings", Int J Solids Struct, Vol. 35, No. 7-8, 1998, pp. 701- 717.

[11] Jin, Z. H. and Paulino, G. H., "Transient Thermal Stress Analysis of an Edge Crack in a Functionally Graded Material", Int J Fract, Vol. 107, No. 1, 2001, pp. 73- 98..

[12] Erdogan, F. and Chen, Y. F., "Interfacial Cracking of FGM/Metal Bonds", In: Kokini K, editor. Ceramic coating, 1998, pp. 29- 37.

[13] Kwon, P. and Crimp, M., "Automating the Design Process and Powder Processing of Functionally Gradient Materials", In: Srivatsan TS, et al., editors. Composites and Functionally Graded Materials, Vol. 80, 1997, pp. 73- 98.

[14] Kesler, O., Finot, M., Suresh, S. and Sampath, S., "Determination of Processing - Induced Stresses and Properties of Layered and Graded Coatings: Experimental Method and Results for Plasma - Sprayed Ni- Al₂O", Acta Mater, Vol. 45, No. 8, 1997, pp. 3123- 3134.

[15] Obata, Y. and Noda, N., "Optimum Material Design for Functionally Gradient Material Plate" Arch Appl Mech, Vol. 66, 1996, pp. 581- 589.

[16] Praveen, G. N. and Reddy, J. N., "Nonlinear Transient Thermoelastic Analysis of Functionally Graded Ceramic-Metal Plates", Int. Journal of Solids and Structures, Vol. 35, No. 33, 1998, pp. 4457- 4476.

[17] Vel, S. and Batra, R. C., "Exact Solution for Thermoelastic Deformations of Functionally Graded Thick Rectangular Plate", AIAA J, Vol. 40, No. 7, 2002, pp. 1421- 1433.

[18] Wu, L., Jiang, Z. and Liu, J., "Thermoelastic Stability of Functionally Graded Cylindrical Shell", Compos Struct, Vol. 70, No. 1, 2005, pp. 60- 68.

[19] Woo, J. and Meguid, S. A. "Nonlinear Analysis of Functionally Graded Plates and Shallow Shell", Int. J Solids Struct, Vol. 38, No. 42, 2001, pp. 7409- 7421.

[20] He, X. Q., Ng, T. Y., Sivashanker, S. and Liew, K. M., "Active Control of FGM Plates with Integrated Piezoelectric Sensors